

СТРУКТУРА НЕОРГАНИЧЕСКИХ СОЕДИНЕНИЙ

УДК 66.081:54.131-145.11

КРИСТАЛЛИЧЕСКАЯ СТРУКТУРА СОЕДИНЕНИЯ $(\text{NH}_4)_5\text{Sc}_3\text{F}_{14}$

© 2013 г. Т. А. Свиридова, Ю. В. Соколова, К. Ю. Пироженко

Национальный исследовательский технологический университет “МИСиС”, Москва

E-mail: tim-17@yandex.ru

Поступила в редакцию 29.02.2012 г.

Исследовано равновесие в системе $(\text{NH}_4)_3\text{ScF}_6-\text{NH}_4\text{HF}_2-\text{H}_2\text{O}$ в интервале концентраций раствора гидродифторида аммония 0.05–3.5 моль/л при температуре 18 и 90°C. С привлечением методов элементного анализа, рентгеноструктурного анализа и дифракции нейтронов изучен состав твердых фаз при равновесии. В диапазоне концентраций фторид-иона в растворе ≤ 1.06 моль/л при 18°C и 2.92–3.01 моль/л при 90°C обнаружена новая фаза $(\text{NH}_4)_5\text{Sc}_3\text{F}_{14}$ с тетрагональной решеткой (пр. гр. $I4_1/a$, параметры ячейки $a = 0.80843$, $c = 2.5177$ нм) и определена ее кристаллическая структура.

DOI: 10.7868/S0023476113020276

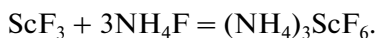
ВВЕДЕНИЕ

В настоящее время внимание исследователей привлекают простые, двойные и более сложные фториды ряда металлов, использование которых позволяет получать новые материалы для фотоники, электронной техники, катализа и т.д. [1]. Фторид скандия помимо основного применения в виде сырья для металлотермического получения металлического скандия используют при создании новых материалов [2], в том числе в виде наночастиц [3]. Одним из способов получения фторида скандия является термическое разложение комплексных фтороскандинатов аммония, которое позволяет получить продукт с низким содержанием кислорода.

Анализ публикаций, посвященных изучению свойств фтороскандинатов аммония, свидетельствует о том, что имеющаяся информация относится в основном к твердофазному состоянию. При изучении безводной системы $\text{NH}_4\text{F}-\text{ScF}_3$ в [4–6] и в [7] в водном растворе установлено существование пяти соединений, характеристики которых приведены в табл. 1.

ПОДГОТОВКА ОБРАЗЦОВ И МЕТОДЫ ИССЛЕДОВАНИЯ

В представленной работе изучено равновесие между $(\text{NH}_4)_3\text{ScF}_6$ и раствором NH_4HF_2 при температурах 18 и 90°C. Исследование проводили, помещая навеску соли $(\text{NH}_4)_3\text{ScF}_6$ в раствор гидродифторида аммония при перемешивании. Синтез гексафтороскандината аммония осуществляли по уравнению



Использовали фторид скандия, полученный растворением оксида скандия квалификации

ОС-99.0 в горячей плавиковой кислоте марки “ч”; нерастворимый остаток отделяли фильтрованием горячего раствора. После охлаждения выпавший осадок отделяли от раствора фильтрованием, промывали дистиллированной водой и сушили при температуре 90–95°C до постоянного веса.

Для получения гексафтороскандината аммония навеску фторида скандия помещали в горячий 30%-ный раствор NH_4F , нагревали до температуры 90–95°C и выдерживали при перемешивании 30 мин, затем отделяли нерастворимый остаток от горячего раствора фильтрованием. Выпавший после охлаждения раствора мелкокристаллический осадок $(\text{NH}_4)_3\text{ScF}_6$ отделяли фильтрованием и сушили в сушильном шкафу при температуре 90°C.

Изучение равновесия в системе проводили, помещая навеску $(\text{NH}_4)_3\text{ScF}_6$ массой 0.5 г в термостатируемую фторопластовую ячейку с 50 мл раствора NH_4HF_2 заданной концентрации, и выдерживали при перемешивании до достижения равновесия. Концентрацию $\text{Sc}(\text{III})$ в растворах определяли эмиссионно-спектральным методом индукционно связанный плазмы на приборе Labtam V-310 Plasma Spectrometer, Model 300 Perkin Elmer AA Spectrometer. Концентрацию ионов F^- в растворах определяли с помощью прибора pH-метр/иономер АНИОН-410 и ионоселективного электрода ЭЛИС-131 F.

Наступление равновесия фиксировали по постоянству концентрации скандия в растворе. По окончании опыта раствор отделяли от донной фазы фильтрованием, осадок не промывали. Фазовый состав осадка определяли с помощью рентгеноструктурного анализа (РСА), относительная ошибка в определении долей фаз составляла 5%.

Таблица 1. Кристаллографические характеристики соединений в системе $\text{NH}_4\text{F}-\text{ScF}_3$

Соединение	Сингония, пространственная группа, число формульных единиц	Параметры решетки, нм	D_x , г/см ³		Литература
			Экспериментальная	Расчетная	
NH_4ScF_4	Тетрагональная, $P4/mmm$, $Z = 1$	$a = 0.406$ $c = 0.667$			[4]
	Орторомбическая, $Amma$, $Z = 4$	$a = 0.7918$ $b = 0.4051$ $c = 1.3455$	2.10 ± 0.05	2.13	[5]
	Орторомбическая, $Pmcn$, $Z = 8$	$a = 0.7862$ $b = 0.8088$ $c = 1.3503$		2.15	[6, 7]
$(\text{NH}_4)_5\text{Sc}_3\text{F}_{14}$	Тетрагональная (хиолит), $P4/mnc$, $Z = 2$	$a = 0.7934$ $c = 1.2800$	2.00 ± 0.05	2.02	[4, 5]
$\text{NH}_4\text{Sc}_3\text{F}_{10}$	Орторомбическая, $P2_12$, $Z = 2$	$a = 0.7590$ $b = 0.8093$ $c = 0.6810$	2.68 ± 0.05	2.72	[5]
$(\text{NH}_4)_2\text{Sc}_3\text{F}_{11}$	Орторомбическая, $Bmmt$ или $B222$, или $Bm2m$, $Z = 2$	$a = 1.8556$ $b = 0.4022$ $c = 1.8787$	2.50 ± 0.05	2.56	[5]
	Орторомбическая, $Cmmm$, $Z = 2$	$a = 1.8501$ $b = 0.6613$ $c = 0.4025$		2.56	[7]
$\alpha-(\text{NH}_4)_3\text{ScF}_6$	Кубическая, $Fm3m$, $Z = 4$	$a = 0.926$	1.73	1.78	[5, 8]
$\beta-(\text{NH}_4)_3\text{ScF}_6$	Тетрагональная, $P4/mnc$, $Z = 2$	$a = 0.6488$ $c = 0.9450$		1.78	[6, 8]
	Моноклинная, $P2_1/n$, $Z = 2$	$a = 0.6500$ $b = 0.6514$ $c = 0.9490$ $\beta = 90.40^\circ$		1.76	[5, 9]

Для определения элементного состава неизвестной фазы использовали сканирующий электронный микроскоп (СЭМ) QUANTA 200 3D с приставкой для элементного анализа микрообъемов образцов. Для повышения точности анализа предварительно проводили калибровку прибора по образцу с известным и близким химическим составом, в качестве которого бралась фаза $\beta-(\text{NH}_4)_3\text{ScF}_6$.

Плотность порошка неизвестной фазы определяли на гелиевом пикнометре AccuPyc 1340 фирмы Micromeritics.

Для изучения кристаллической структуры фаз применяли РСА. Съемка практически однофазного поликристаллического образца выполнялась на дифрактометре ДРОН-4.0 с использованием монохроматизированного СоK-излучения. Для интерпретации дифракционного спектра использовался пакет программ [10]; решение кристаллической структуры и уточнение координат

атомов проводили с применением программы Topas фирмы Bruker [11].

Для определения позиций атомов водорода выполнялась съемка нейтронограммы на многодетекторном дифрактометре “ДИСК” [12], установленном на реакторе ИР-8 НИЦ “Курчатовский институт”. Мощность реактора 4 МВт. Длина волны нейтронов составляла 0.1668 нм.

РЕЗУЛЬТАТЫ ИССЛЕДОВАНИЯ

На рис. 1 представлен мелкокристаллический осадок фазы $(\text{NH}_4)_3\text{ScF}_6$. Размер ее частиц составлял 20–30 мкм для крупной фракции и 2–3 мкм для мелкой. Рентгенограмма полученного соединения $\beta-(\text{NH}_4)_3\text{ScF}_6$ показана на рис. 2. Фаза имеет моноклинную решетку с периодами: $a = 0.6465$, $b = 0.6477$, $c = 1.1382$ нм и $\beta = 124.16^\circ$ (периоды даны для пр. гр. $P2_1/c$).

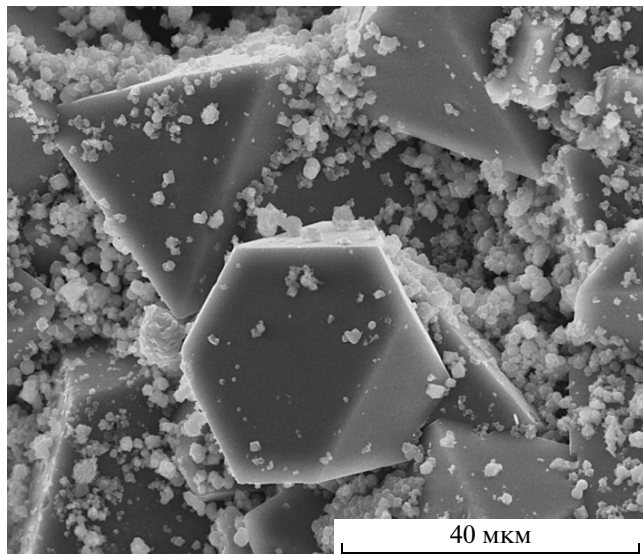


Рис. 1. СЭМ-изображение гексафторосканда аммония.

Эксперимент по изучению равновесия, которое достигается за 2.5–3 ч, проводили с использованием 0.05–3.5 М раствора гидрофторида аммония. Результаты эксперимента приведены в табл. 2.

Результаты анализа твердых фаз, находящихся в равновесии с раствором свидетельствуют, что при температуре 18°C и концентрации фторид-иона в растворе ≤ 1.06 моль l^{-1} процесс растворения протекает с образованием кристаллической фазы, характеристики которой в литературе отсутствуют (СЭМ-изображение приведено на рис. 3, средний размер частиц составлял 2–3 мкм, рентгенограмма дана на рис. 4); при более высокой концентрации фторид-иона донная фаза представлена гексафтороскандатом аммония. При температуре 90°C и концентрации F^- менее 2 моль l^{-1} твердой фазой является NH_4ScF_4 , далее с ростом содержания фторид-иона в растворе появляется $(\text{NH}_4)_3\text{ScF}_6$, в интервале концентраций F^- 2.92–3.0 моль l^{-1} – та же неизвестная фаза, при более высоких концентрациях фторид-иона в донной фазе обнаружен осадок исходного соединения.

По данным элементного анализа неизвестная фаза содержит, ат. %: 12.8 Sc, 23.9 N и 63.3 F. Таким образом, фаза может иметь состав $(\text{NH}_4)_5\text{Sc}_3\text{F}_{14}$. Расчетная плотность фазы при таком составе – 1.977 г/ cm^3 , а с учетом второй фазы в образце его плотность должна составлять 1.955 г/ cm^3 (при содержании второй фазы ~10 об. %). Измеренная плотность образца близка к полученному значению и составляет 1.9235 ± 0.0044 г/ cm^3 .

Индцирование спектра, представленного на рис. 4, показало, что фаза имеет тетрагональную решетку с периодами $a = 0.80843$, $c = 2.5177$ нм.

Возможные пр. гр. $I4_1/a$ (№ 88), $I4_1/AMD$ (№ 141). Так как наименьший R -фактор (6.62%) был достигнут для пр. гр. $I4_1/a$, то окончательное решение приводится для нее.

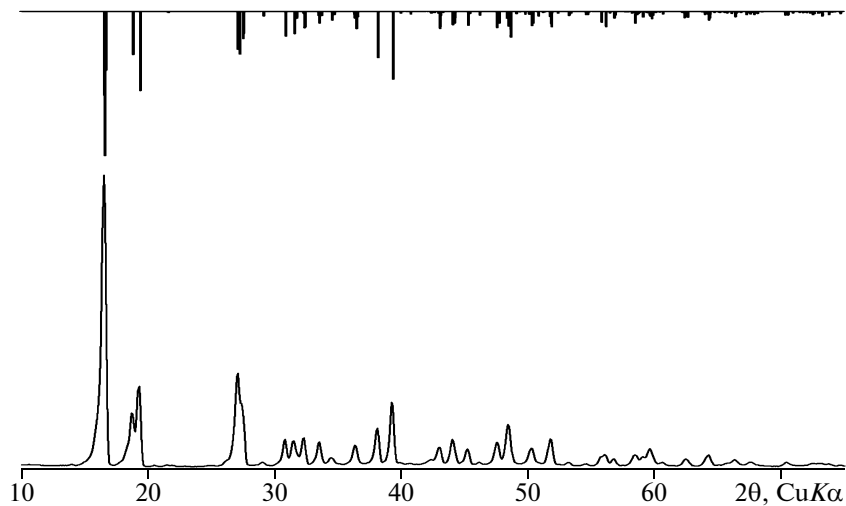
Сравнение относительных интенсивностей отражений при наклоне образца на угол 45° с интенсивностями при съемке без наклона (рис. 4) показало, что в порошковом образце имелась слабая аксиальная текстура с осью [001]. Поэтому

Таблица 2. Данные эксперимента по изучению равновесия в системе $(\text{NH}_4)_3\text{ScF}_6-\text{NH}_4\text{HF}_2-\text{H}_2\text{O}$

Концентрация NH_4HF_2 , М	T , °C	F^- , М	Состав осадка по данным рентгенофазового анализа
0.05	18	0.38	неизвестная фаза
	90	0.80	не определяли
0.1	18	0.46	неизвестная фаза
	90	1.06	$\text{NH}_4\text{ScF}_4^*$
0.2	18	0.62	неизвестная фаза
	90	1.24	не определяли
0.25	18	0.78	неизвестная фаза
	90	1.36	NH_4ScF_4
0.3	18	0.84	неизвестная фаза
	90	1.60	не определяли
0.4	18	0.98	неизвестная фаза
	90	1.90	не определяли
0.5	18	1.06	неизвестная фаза
	90	2.00	NH_4ScF_4 , ~8 % $\beta-(\text{NH}_4)_3\text{ScF}_6^{**}$
1.0	18	1.92	$\beta-(\text{NH}_4)_3\text{ScF}_6$, ~3% NH_4ScF_4
	90	2.92	$\beta-(\text{NH}_4)_3\text{ScF}_6$, ~45% неизвестная фаза, ~3% NH_4ScF_4
1.5	18	3.10	$\beta-(\text{NH}_4)_3\text{ScF}_6$, ~2% NH_4ScF_4
	90	3.46	$\beta-(\text{NH}_4)_3\text{ScF}_6$, ~45% неизвестная фаза, ~4% NH_4ScF_4
2.5	18	8.24	не определяли
	90	4.60	не определяли
3.5	18	19.80	$\beta-(\text{NH}_4)_3\text{ScF}_6$
	90	5.30	$\beta-(\text{NH}_4)_3\text{ScF}_6$

* Здесь и далее образуется фаза NH_4ScF_4 с пр. гр. $Pmcn$, $Z=8$.

** Здесь и далее фаза $(\text{NH}_4)_3\text{ScF}_6$ имеет моноклинную решетку.

Рис. 2. Рентгенограмма соединения $(\text{NH}_4)_3\text{ScF}_6$.

при уточнении координат атомов проводилась оптимизация дополнительного параметра, учитывающего текстуру. Полюсная плотность для отражений типа (00L) получилась равной 1.02. Координаты атомов для фазы $(\text{NH}_4)_5\text{Sc}_3\text{F}_{14}$ представлены в табл. 3.

Элементарная ячейка фазы $(\text{NH}_4)_5\text{Sc}_3\text{F}_{14}$ показана на рис. 5. Все атомы скандия располагаются в центре почти правильных октаэдров из атомов фтора. При этом атомы Sc1 занимают центры октаэдров, у которых ось 4-го порядка практически совпадает с трансляциями **a** и **b**, а атомы Sc2 расположены в центрах октаэдров с осью 4-го поряд-

ка, параллельной трансляции **c**. Длины межатомных связей приводятся в табл. 4.

Таким образом, предложен синтез и установлена кристаллическая структура соединения $(\text{NH}_4)_5\text{Sc}_3\text{F}_{14}$, отличного от ранее известной модификации. Несоответствие фаз, одна из которых (известная) получена в твердом состоянии, а вто-

Таблица 3. Координаты атомов по правильным системам точек

Тип по-зиции	Атом	<i>x</i>	<i>y</i>	<i>z</i>
8(<i>e</i>)	Sc1	0.0000	0.0000	0.2511(3)
4(<i>a</i>)	Sc2	0.0000	0.0000	0.0000
4(<i>b</i>)	N1	0.0000	0.0000	0.5000
16(<i>f</i>)	N2	0.2398(19)	0.2602(54)	0.1202(13)
16(<i>f</i>)	F1	-0.0245(43)	0.1718(14)	0.6945(5)
16(<i>f</i>)	F2	0.0009(36)	0.1763(14)	0.8011(4)
16(<i>f</i>)	F3	-0.0076(33)	0.2494(12)	-0.0034(6)
8(<i>e</i>)	F4	0.0000	0.0000	0.0787(5)
16(<i>f</i>)	H1	0.0163(43)	0.8949(29)	0.5241(10)
16(<i>f</i>)	H2	0.7845(49)	0.6555(44)	0.3977(14)
16(<i>f</i>)	H3	0.6954(35)	0.8238(49)	0.3977(15)
16(<i>f</i>)	H4	0.8241(50)	0.7842(42)	0.3429(14)
16(<i>f</i>)	H5	0.6558(48)	0.6951(42)	0.3429(13)

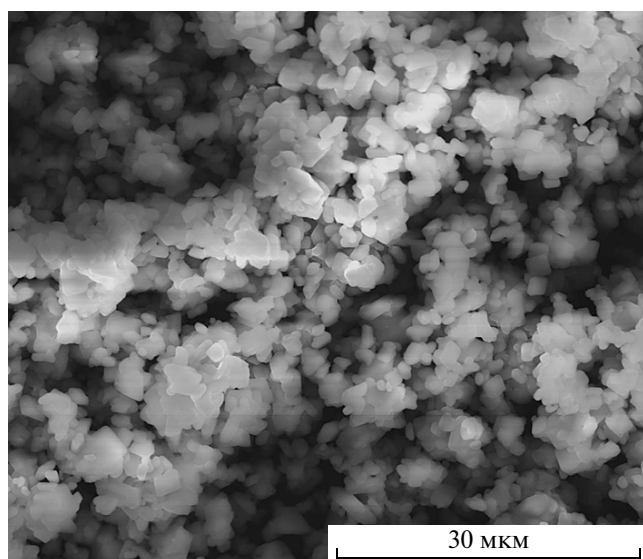


Рис. 3. СЭМ-изображение порошка новой фазы.

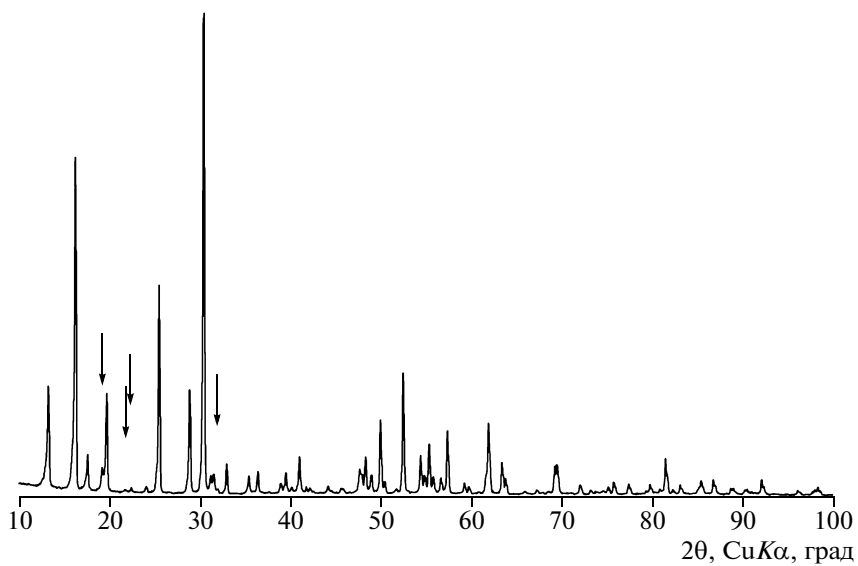


Рис. 4. Дифракционный спектр практически однофазного образца с основной фазой $(\text{NH}_4)_5\text{Sc}_3\text{F}_{14}$. Стрелками отмечены отражения примесной фазы $\beta-(\text{NH}_4)_3\text{ScF}_6$.

прая выделена из раствора, связано, возможно, с неравновесностью системы в условиях экспериментов. По этой причине при формировании твердых фаз в растворах часто имеет место изменение формы частиц и параметров элементарной ячейки, а также ряд других эффектов.

Таблица 4. Длины связей в фазе $(\text{NH}_4)_5\text{Sc}_3\text{F}_{14}$, Å

Sc1	F2	1.939(12) \times 2	F1	H3	2.02(5)
	F1	1.961(14) \times 2		F2	2.692(16)
	F3	2.028(10) \times 2		F1	2.807(17)
Sc2	F4	1.981(13) \times 2		H5	2.82(4)
	F3	2.019(10) \times 4		H3	2.84(4)
N1	H1	1.05(2) \times 4		F3	2.97(3)
	F2	2.916(11) \times 4	F2	H5	1.64(5)
	F1	3.005(12) \times 4		H2	2.18(5)
N2	H5	1.03(5)		H1	2.59(3)
	H4	1.03(5)		H1	2.72(3)
	H3	1.04(5)		F3	2.81(3)
	H2	1.04(4)		F2	2.851(16)
	F1	2.60(4)		F3	2.86(3)
	F2	2.65(4)	F3	H4	2.65(4)
	F2	2.94(4)		F4	2.768(15)
	F1	3.02(4)		F4	2.888(16)
	F4	3.03(3)	F4	H2	2.69(4) \times 2
	F4	3.04(4)		H4	2.73(3) \times 2
F1	H4	1.81(4)		H2	2.76(4) \times 2
	H1	2.00(3)		H5	2.82(4) \times 2

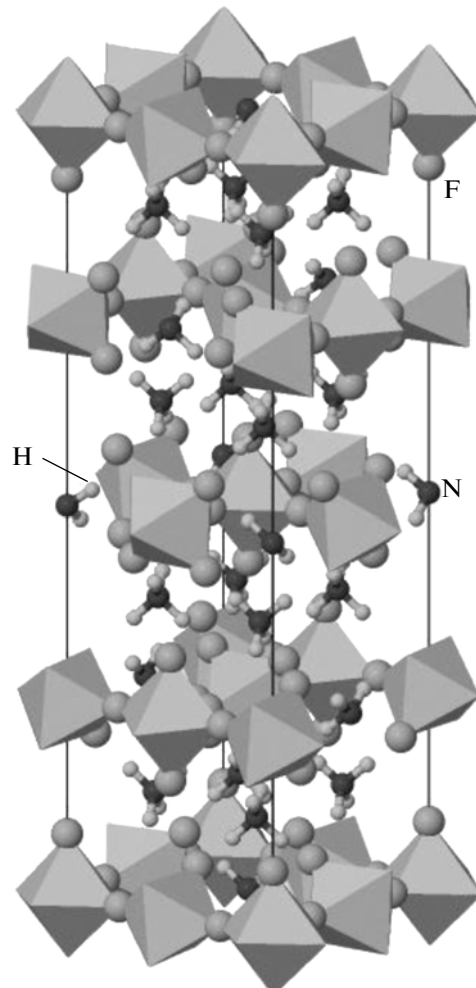


Рис. 5. Элементарная ячейка фазы $(\text{NH}_4)_5\text{Sc}_3\text{F}_{14}$. Атомы скандия расположены в центре октаэдров из атомов фтора.

ЗАКЛЮЧЕНИЕ

Изучено равновесие в системе $(\text{NH}_4)_3\text{ScF}_6 - \text{NH}_4\text{HF}_2 - \text{H}_2\text{O}$ в интервале концентраций раствора гидрофторида аммония 0.05–3.5 моль/л при температуре 18 и 90°C. Установлено, что в твердой фазе кроме соединений $(\text{NH}_4)_3\text{ScF}_6$ и NH_4ScF_4 в диапазоне концентраций фторид-иона в растворе ≤ 1.06 моль/л при 18°C и 2.92–3.01 моль/л при 90°C образуется ранее неизвестная фаза $(\text{NH}_4)_5\text{Sc}_3\text{F}_{14}$.

Установлено, что новая фаза имеет тетрагональную решетку (пр. гр. $I4_1/a$) с периодами $a = 0.80843$, $c = 2.5177$ нм и определены координаты атомов.

СПИСОК ЛИТЕРАТУРЫ

1. Functionalized Inorganic Fluorides: Synthesis, Characterization and Properties of Nanostructured Solids / Ed. Tressaud A. New York: Wiley-VCH, 2010. 614 p.
2. Chen W.Li, Xiaoli Tang, Munoz J.A. // Phys. Rev. Lett. 2011. V. 107. P. 195504.
3. Murin I.V., Tolstoy V.P., Zhuchkov B.S. // Solid State Ionics. 1997. V. 101–103. P. 65.
4. Hajek B. // Z. Chem. 1963. B. 3. S. 194.
5. Champarnaud-Mesjard J., Frit B. // J. Less-Common Metal. 1991. V. 167. P. 319.
6. Михайлов М.А., Эпов Д.Г., Сергиенко В.И. и др. // Журн. неорган. химии. 1973. Т. 18. № 6. С. 1508.
7. Stephens N.F., Lightfoot P. // Solid State Sci. 2006. V. 8. P. 197.
8. Bode V.H., Voss E. // Z. Anorg. Allg. Chem. 1957. B. 290. S. 1.
9. Boehmer N., Meyer G. // Z. Anorg. Allg. Chem. 2001. B. 627. S. 1248.
10. Шелехов Е.В., Свиридова Т.А. // МиТОМ. 2000. № 8. С. 16.
11. <http://www.bruker-axes.com/topas.html>
12. Glazkov V.P., Naumov I.V., Somenkov V.A., Shilshstein S.Sh. // Nucl. Instrum. Methods. A. 1988. V. 264. P. 367.